

УДК 513.944;531.38

©2004. Д.Б. Зотьев

ФАЗОВАЯ ТОПОЛОГИЯ ВОЛЧКА КОВАЛЕВСКОЙ В $SO(2)$ -СИММЕТРИЧНОМ ДВОЙНОМ СИЛОВОМ ПОЛЕ

Исследована фазовая топология вполне интегрируемой гамильтоновой системы, описывающей волчок Ковалевской в двойном силовом поле при условиях на параметры, обеспечивающих существование группы симметрий $SO(2)$ – синхронных вращений вокруг оси динамической симметрии и нормали к плоскости силовых полей. Вычислена бифуркационная диаграмма и области возможности движения. Описаны геометрические особенности, характерные для данной задачи. Найден топологические типы фазового пространства и изоэнергетических поверхностей, которые оказались погруженными подмножествами с самопересечениями. Описаны соответствующие особые движения.

1. Постановка задачи. Рассмотрим намагниченное твердое тело с неподвижной точкой, которое вращается под действием гравитационного и магнитного полей [1]. Поля предполагаются однородными и стационарными. В подвижной системе отсчета динамика тела определяется уравнениями Эйлера-Пуассона

$$\dot{\mathbf{M}} = [\mathbf{M}, \boldsymbol{\omega}] + m\mathbf{g}[\mathbf{r}, \boldsymbol{\gamma}] + \mathbf{B}[\mathbf{d}, \boldsymbol{\delta}], \quad \dot{\boldsymbol{\gamma}} = [\boldsymbol{\gamma}, \boldsymbol{\omega}], \quad \dot{\boldsymbol{\delta}} = [\boldsymbol{\delta}, \boldsymbol{\omega}], \quad (1)$$

где m – масса тела, \mathbf{M} – кинетический момент, $\boldsymbol{\omega}$ – угловая скорость, \mathbf{r} – радиус-вектор центра масс, $\mathbf{g}\boldsymbol{\gamma}$ – ускорение свободного падения, \mathbf{d} – полный магнитный момент тела, $B\boldsymbol{\delta}$ – напряженность магнитного поля. Векторы $\boldsymbol{\gamma}, \boldsymbol{\delta}$ единичны и неподвижны в пространстве, а векторы \mathbf{r}, \mathbf{d} фиксированы в теле.

Предположим, что главные моменты инерции связаны условием С.В. Ковалевской $I_1 = I_2 = 2I_3$, а векторы \mathbf{r}, \mathbf{d} взаимно ортогональны и параллельны экваториальной плоскости эллипсоида инерции [1]. Тогда подвижную систему можно выбрать так, что $m\mathbf{g}\mathbf{r} = (r_1, 0, 0)$, $B\mathbf{d} = (0, d_2, 0)$.

Введем обозначения $\boldsymbol{\gamma} = (\boldsymbol{\gamma}, \boldsymbol{\delta})$, $c_1 = (4I_3 r_1)^2$, $c_2 = (4I_3)^2 r_1 d_2 (\boldsymbol{\gamma}, \boldsymbol{\delta})$, $c_3 = (4I_3 d_2)^2$ и в качестве основных переменных выберем компоненты

$$M_i, \xi_i, \eta_i \quad (2)$$

в подвижных осях векторов $\mathbf{M}, \boldsymbol{\xi}, \boldsymbol{\eta}$, где $\boldsymbol{\xi} = \sqrt{c_1} \boldsymbol{\gamma}$, $\boldsymbol{\eta} = \sqrt{c_3} \boldsymbol{\delta}$.

Далее полагаем единицы измерения выбранными так, что $4I_3 = 1$. Система (1) запишется в виде

$$\begin{aligned} \dot{M}_1 &= 2M_2 M_3 + \eta_3, & \dot{M}_2 &= -2M_1 M_3 - \xi_3, & \dot{M}_3 &= \xi_2 - \eta_1; \\ \dot{\xi}_1 &= 2(2M_3 \xi_2 - M_2 \xi_3), & \dot{\xi}_2 &= 2(M_1 \xi_3 - 2M_3 \xi_1), & \dot{\xi}_3 &= 2(M_2 \xi_1 - M_1 \xi_2); \\ \dot{\eta}_1 &= 2(2M_3 \eta_2 - M_2 \eta_3), & \dot{\eta}_2 &= 2(M_1 \eta_3 - 2M_3 \eta_1), & \dot{\eta}_3 &= 2(M_2 \eta_1 - M_1 \eta_2). \end{aligned} \quad (3)$$

В работе [1] показано, что, кроме интеграла энергии

$$H = M_1^2 + M_2^2 + 2M_3^2 - \xi_1 - \eta_2, \quad (4)$$

система (3) имеет еще один общий интеграл типа С.В. Ковалевской

$$Z = (M_1^2 - M_2^2 + \xi_1 - \eta_2)^2 + (2M_1 M_2 + \xi_2 + \eta_1)^2. \quad (5)$$

Геометрические соотношения $(\boldsymbol{\gamma}, \boldsymbol{\gamma}) = 1$, $(\boldsymbol{\delta}, \boldsymbol{\delta}) = 1$, $(\boldsymbol{\gamma}, \boldsymbol{\delta}) = c$, где $|c| \leq 1$, задают в фазовом пространстве \mathbf{R}^9 инвариантное подмногообразие \mathcal{O} . В переменных (2) оно определяется системой уравнений

$$\sum_{i=1}^3 \xi_i^2 = c_1, \quad \sum_{i=1}^3 \xi_i \eta_i = c_2, \quad \sum_{i=1}^3 \eta_i^2 = c_3 \quad (c_2^2 \leq c_1 c_3). \quad (6)$$

Если $|c| = 1$, то $\mathcal{O} \cong S^2 \times \mathbf{R}^3$, а если $|c| < 1$, то $\mathcal{O} \cong SO(3) \times \mathbf{R}^3 \cong \mathbf{RP}^3 \times \mathbf{R}^3$. При $|c| = 1$ система вырождается в случай С.В. Ковалевской. В дальнейшем полагаем $|c| < 1$, что равносильно $c_2^2 < c_1 c_3$.

В [1] доказана полная интегрируемость системы (3) на инвариантном подмножестве $\mathcal{M}^4 = Z^{-1}(0) \cap \mathcal{O}$, состоящем из точек глобального минимума интеграла Z , – в дополнение к интегралу (4) указан частный интеграл $F : \mathcal{M}^4 \rightarrow \mathbf{R}$, который в переменных (2) запишем так

$$F = (M_1^2 + M_2^2) \left(M_3 \pm \sqrt{\frac{\xi_1 + \eta_2 - M_1^2 - M_2^2 + 2\sqrt{c_1}}{2}} \right). \quad (7)$$

Совокупность движений, отвечающая траекториям на \mathcal{M}^4 , обобщает 1-й класс Аппельрота (случай Делоне [2]). Обобщение 2-го, 3-го и 4-го классов Аппельрота для системы (3) найдено в работах [4,5]. В работе [3] автором изучена топология слоения Лиувилля на многообразии \mathcal{M}^4 в предположении

$$(c_1 - c_3)^2 + c_2^2 \neq 0. \quad (8)$$

В [3] доказано, что $\mathcal{M}^4 \cong S^2 \times S^1 \times \mathbf{R}$, а условие

$$(c_1 - c_3)^2 + c_2^2 = 0 \quad (9)$$

оказывается единственным случаем, когда \mathcal{M}^4 теряет гладкость. В работе [6] случай (9) был отмечен как имеющий однопараметрическую группу симметрий $SO(2)$. При этом система допускает синхронные вращения вокруг вектора $[\boldsymbol{\gamma}, \boldsymbol{\delta}]$ и оси динамической симметрии тела.

М.П. Харламов доказал [5], что векторы $\boldsymbol{\gamma}$ и $\boldsymbol{\delta}$ без ограничения общности можно считать взаимно ортогональными, то есть априорно положить $c_2 = 0$. Поэтому, фактически, при нулевом значении интеграла Z имеется однопараметрическое семейство (существенный параметр – отношение c_3/c_1) интегрируемых случаев О.И. Богоявленского, описывающих аналог особо замечательных движений 1-го класса по Аппельроту для намагниченного волчка Ковалевской. Фазовая топология одного из них – случая $c_1 = c_3$ – никем не изучалась. В данной статье этот пробел восполнен. Полностью описана фазовая топология динамической системы, определяемой ограничением системы (3) на инвариантное подмножество $\mathcal{M}^4 = Z^{-1}(0) \cap \mathcal{O}$, при условиях $c_2^2 < c_1 c_3$ и $(c_1 - c_3)^2 + c_2^2 = 0$. Явно указаны движения, отвечающие точкам самопересечения погруженного подмногообразия \mathcal{M}^4 .

2. Фазовая топология. Всюду ниже полагаем

$$c_2 = 0, \quad c_1 = c_3 > 0. \quad (10)$$

Предложение 1. Инвариантное множество $\mathcal{M}^4 \subset \mathcal{O}$ является погруженным подмногообразием и имеет трансверсальное самопересечение по инвариантному гладкому цилиндру $\mathcal{C}^2 \cong S^1 \times \mathbf{R}$, который определяется уравнениями

$$\eta_1^2 + \eta_2^2 = c_1, \quad \xi_1 = \eta_2, \quad \xi_2 = -\eta_1, \quad \xi_3 = \eta_3 = 0, \quad M_1 = M_2 = 0. \quad (11)$$

Доказательство. Из (5) следует, что уравнения \mathcal{M}^4 в \mathcal{O} имеют вид

$$Z_1 = 0, \quad Z_2 = 0, \quad (12)$$

где

$$Z_1 = M_1^2 - M_2^2 + \xi_1 - \eta_2, \quad Z_2 = 2M_1M_2 + \xi_2 + \eta_1. \quad (13)$$

При условии (10) дифференциалы функций (13) на \mathcal{O} зависят лишь в точках вида (11), составляющих некоторое (инвариантное) подмножество \mathcal{C}^2 . Так как M_3 произвольно, то $\mathcal{C}^2 \cong S^1 \times \mathbf{R}$. В каждой точке $p \in \mathcal{C}^2$ множество всех векторов, касательных к дифференцируемым кривым на \mathcal{M}^4 , является объединением пары 4-мерных подпространств $T_p^\pm \mathcal{M}^4$, пересекающихся по $T_p \mathcal{C}^2$. Эти подпространства перестановочны относительно симметрии, которая обращает знаки координат M_1 и M_2 . Поскольку $\mathcal{M}^4 \setminus \mathcal{C}^2$ суть гладкое многообразие и $T_p^+ \mathcal{M}^4 + T_p^- \mathcal{M}^4 = T_p \mathcal{O}$ в каждой точке $p \in \mathcal{C}^2$, то очевидно, что \mathcal{M}^4 – погруженное подмногообразие, имеющее трансверсальное самопересечение по цилиндру \mathcal{C}^2 . \square

Интегральные многообразия системы на \mathcal{M}^4 представляют собой совместные уровни интегралов H, F , и их перестройки отвечают точкам бифуркационной диаграммы отображения

$$H \times F : \mathcal{M}^4 \rightarrow \mathbf{R}^2. \quad (14)$$

Предложение 2. Бифуркационная диаграмма отображения (14) является объединением луча

$$f = 0, \quad h \geq -2d_2 \quad (15)$$

и кривой

$$f = \pm \frac{h + 6d_2 - \sqrt{h^2 + 12d_2^2}}{3\sqrt{6}} \sqrt{h + 6d_2 + 2\sqrt{h^2 + 12d_2^2}}. \quad (16)$$

Множество (15), (16) изображено на рисунке. Однозначные ветви AA_+ и AA_- кривой (16) сходятся в точке $A = (-2d_2, 0)$, являющейся началом луча (15).

Доказательство. Введем следующие обозначения:

$$y = \xi_1 + \eta_2, \quad \rho = \sqrt{(\xi_1 - \eta_2)^2 + (\xi_2 + \eta_1)^2}. \quad (17)$$

Из (12), (13) следует, что $\rho = M_1^2 + M_2^2$ на \mathcal{M}^4 . Точки, в которых нарушается гладкость \mathcal{M}^4 , считаем критическими для интегрального отображения, поэтому луч (15) включается в диаграмму как образ цилиндра \mathcal{C}^2 (предложение 1). Функция $H : \mathcal{M}^4 \rightarrow \mathbf{R}$ имеет только два бифуркационных значения $\pm 2d_2$. Единственная точка минимума является прообразом $A = (-2d_2, 0)$, остальные точки бифуркации лежат на прообразе

$B = (2d_2, 0)$. Изоэнергетическая поверхность $Q_h^3 = H^{-1}(h)$ в \mathcal{M}^4 определяется уравнением

$$M_3 = \pm \sqrt{\frac{y - \rho + h}{2}}. \quad (18)$$

Заметим, что при $-2d_2 < h \leq 2d_2$ поверхность Q_h^3 является связной, а при $h > 2d_2$ она состоит из двух связных компонент, на одной из которых $M_3 > 0$ и $F \geq 0$, а на другой $M_3 < 0$ и $F \leq 0$. Обозначим через F_h ограничение интеграла (7) на Q_h^3 :

$$F_h = \frac{\rho}{\sqrt{2}} \left(\pm \sqrt{y - \rho + h} \pm \sqrt{y - \rho + 2\sqrt{c_1}} \right). \quad (19)$$

Из условия $dF_h = 0$ следует уравнение (16). \square

ОПРЕДЕЛЕНИЕ. Погружение $j : S^3 \rightarrow \mathcal{M}$, где \mathcal{M} произвольное многообразие размерности $n > 4$, назовем скручивающим погружением, а его образ $j(S^3)$ – скрученной сферой, если:

а) существует окружность $S^1 \subset S^3$ такая, что ограничение $j|_{S^1}$ является двулистным накрытием окружности $j(S^1) \subset \mathcal{M}$;

б) в каждой точке $p \in j(S^1)$ множество всех векторов, касательных к непрерывно-дифференцируемым кривым на $j(S^3)$, является объединением пары 3-мерных подпространств, пересекающихся по прямой $T_p j(S^1)$;

в) отображение j инъективно на множестве $S^3 \setminus S^1$.

Отметим, что введенные термины не являются общепринятыми и нигде, кроме данной статьи, не применяются.

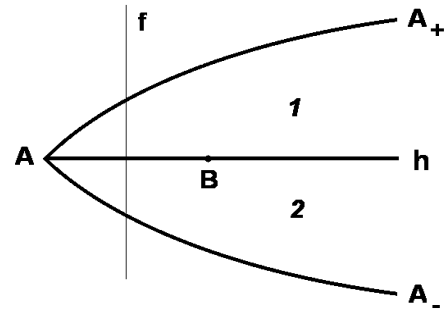
Предложение 3. Любые две скрученные сферы гомеоморфны.

Таким образом, скрученная сфера – это топологический тип.

Предложение 4. Погруженное подмногообразие \mathcal{M}^4 гомеоморфно произведению скрученной сферы на прямую.

Доказательство. Инвариантное множество \mathcal{M}^4 можно представить в виде $\mathcal{M}^4 = \mathcal{N}^3 \times \mathbf{R}(M_3) \subset \mathbf{R}^9$, где погруженное подмногообразие $\mathcal{N}^3 \subset \mathbf{R}^8$ определяется уравнениями (6) и (12). При этом $\mathcal{C}^2 = S_0^1 \times \mathbf{R}(M_3)$, где окружность $S_0^1 \subset \mathcal{N}^3$ определяется уравнениями (11), которые эквивалентны $\rho = 0$. Для некоторого $h > 2d_2$ зафиксируем одну из двух связных компонент Q_h^3 , например, компоненту, у которой $M_3 > 0$. Она является графиком функции M_3 , заданной согласно (18), непрерывной на \mathcal{N}^3 и гладкой на $\mathcal{N}^3 \setminus S_0^1$. Ограничим интеграл F на данную компоненту. Слоение Лиувилля на компоненте спроектируем на многообразие $\mathcal{N}^3 \setminus S_0^1$. Проекция функции F на \mathcal{N}^3 , за которой мы сохраняем обозначение F , в переменных (17) имеет вид (19), где из первого \pm следует выбрать знак $+$. Функция F порождает слоение $\mathcal{N}^3 \setminus S_0^1$ на вложенные торы T^2 . Заметим, что $F \geq 0$ и $F^{-1}(0) = S_0^1$. Вложенный в \mathcal{N}^3 тор $F^{-1}(f)$ обозначим T_f^2 . Проекция тора T_f^2 на плоскость $\mathbf{R}^2(y, \rho)$ является фрагментом кривой

$$y = \frac{(h - 2\sqrt{c_1})^2}{8f^2} \rho^2 + \rho - \frac{h + 2\sqrt{c_1}}{2} + \frac{f^2}{2\rho^2}, \quad (20)$$



Бифуркационная диаграмма.

не выходящим из треугольника $A_1A_2A_3$, который ограничен отрезками прямых

$$[A_1A_2] : y - \rho = -2\sqrt{c_1}, \quad [A_2A_3] : y + \rho = 2\sqrt{c_1}, \quad [A_1A_3] : \rho = 0.$$

Этот фрагмент кривой (20), являющийся вложенным отрезком, будем называть дугой. Если значение f стремится к максимуму f_{max} , то дуга стягивается в некоторую точку $A_4 \in (A_2A_3)$. Соответствующий тор T_f^2 стягивается на максимальную окружность. При этом некоторый нетривиальный цикл $\sigma(f) \subset T_f^2$ стягивается в точку. Если f стремится к нулю, то дуга гомотопируется в отрезок $[A_1A_3]$, складываясь в пределе вдвое. Соответствующий тор T_f^2 гомотопируется в окружность S_0^1 . При этом цикл $\sigma(f)$ стягивается на S_0^1 подобно тому, как граница листа Мебиуса стягивается на осевую окружность. Очевидно, что при уменьшении f от f_{max} до нуля тор T_f^2 замечает сферу S^3 , скрученную вдоль окружности S_0^1 . Пусть $j : S^3 \rightarrow \mathbf{R}^8$ – скручивающее погружение этой сферы, тогда $j(S^3) = \mathcal{N}^3$. Следовательно $\mathcal{M}^4 = j(S^3) \times \mathbf{R}$. \square

ОПРЕДЕЛЕНИЕ. Пусть подмногообразия $\mathcal{N}_1 \subset \mathcal{M}$ и $\mathcal{N}_2 \subset \mathcal{M}$ пересекаются по подмногообразию $\mathcal{Q} \subset \mathcal{M}$. Назовем это пересечение регулярным, если $T_p\mathcal{Q} = T_p\mathcal{N}_1 \cap T_p\mathcal{N}_2$ в каждой точке $p \in \mathcal{Q}$.

Предложение 5. 1. При $-2d_2 < h < 2d_2$ изоэнергетическая поверхность Q_h^3 является объединением пары вложенных в \mathcal{O} сфер S^3 , регулярно пересекающихся по окружности $S^1 \subset \mathcal{C}^2$, которая исчерпывает пересечение каждой из сфер с цилиндром \mathcal{C}^2 .

2. При $h > 2d_2$ поверхность Q_h^3 имеет две связных компоненты, каждая из которых является скрученной сферой $j(S^3)$ и пересекается с цилиндром \mathcal{C}^2 по своей особой окружности.

Доказательство. Второе утверждение содержится в доказательстве предложения 4. Первое получается аналогично, однако отрезок $[A_1A_2]$ лежит на прямой $y - \rho = -h$, где $-2\sqrt{c_1} < h < 2\sqrt{c_1}$. В этом случае Q_h^3 связна и на окружность $S^1(h) \subset Q_h^3$, определяемую равенством $\rho = 0$, стягивается пара торов Лиувилля T_f^2 , отвечающих значениям $f > 0$ и $f < 0$. При этом торы семейства $[0, f_{max}]$ замечают вложенную сферу S^3 , а торы семейства $[f_{min}, 0]$ замечают свою вложенную сферу S^3 . Обе сферы регулярно пересекаются по $S^1(h)$. \square

Теперь мы готовы описать слоение Лиувилля на $\mathcal{M}^4 \setminus \mathcal{C}^2$. Обозначим через $p_+(h)$ и $p_-(h)$ точки пересечения вертикальной прямой $H = h$ с кривыми AA_+ и AA_- (см. рисунок).

Предложение 6. Прообразом каждой точки из регулярных областей 1 и 2 является один тор Лиувилля. Если $h > -2d_2$, то прообразом точки $p_+(h)$ является максимальная, а прообразом точки $p_-(h)$ – минимальная окружности интеграла F , ограниченного на изоэнергетическую поверхность $Q_h^3 = H^{-1}(h) \subset \mathcal{M}^4$. Если $h = -2d_2$, то поверхность $H^{-1}(h)$ вырождается в точку.

Доказательство. Для области 1 единственный тор Лиувилля над произвольной ее точкой явно указан в доказательстве предложения 5. Случай области 2 аналогичен. Точкам кривой A_-AA_+ , вообще говоря, могли бы соответствовать бутылки Клейна K^2 . Однако этого нет, поскольку прообразом точки на плоскости $\mathbf{R}^2(y, \rho)$, в которую стягивается проекция (20) тора Лиувилля, является одномерное подмногообразие. \square

Заметим, что в динамике твердого тела инвариантные подмногообразия в форме бутылок Клейна не наблюдались.

3. Особые движения.

Предложение 7. Фазовым траекториям, лежащим на инвариантном цилиндре C^2 , отвечают маятниковые движения вокруг оси динамической симметрии, сохраняющей в пространстве положение, параллельное вектору $[\gamma, \delta]$. При этом:

- 1) если $h = -2d_2$ (точка A), то тело находится в состоянии устойчивого равновесия;
- 2) если $-2d_2 < h < 2d_2$, то тело совершает колебания с постоянным периодом;
- 3) если $h = 2d_2$ (точка B), то тело находится в состоянии неустойчивого равновесия или совершает колебания с бесконечным полупериодом;
- 4) если $h > 2d_2$, то тело вращается с постоянным периодом.

Доказательство. Согласно (11), $\xi_3 = \eta_3 = 0$. Поэтому ось динамической симметрии в движениях этого класса сохраняет направление, ортогональное векторам ξ, η .

Цилиндр C^2 расслаивается на инвариантные подмножества, выделяемые уравнением (18). Среди них одна точка ($h = -2d_2$) и одна восьмерка ($h = 2d_2$), а все остальные являются окружностями (в топологическом смысле). Для завершения доказательства достаточно нарисовать слоение цилиндра. \square

Заметим, что в случае О.И. Богоявленского (8) тело не имеет положений равновесия, если не выполняется хотя бы одно из условий $(\gamma, \delta) = 0$ и $r_1 = d_2$ [3]. В рассмотренном особом случае (9) на M^4 попадают только два положения равновесия волчка. Устойчивое равновесие отвечает конфигурации, в которой вектор \mathbf{r} сонаправлен γ , а вектор \mathbf{d} сонаправлен δ . Неустойчивое равновесие имеет место, когда вектор \mathbf{r} противоположнонаправлен γ , а вектор \mathbf{d} противоположнонаправлен δ .

Автор благодарен М.П. Харламову за советы и критические замечания.

1. *Богоявленский О.И.* Интегрируемые уравнения Эйлера на алгебрах Ли, возникающие в задачах математической физики // Изв. АН СССР. Сер. мат. – 1984. – 48, вып. 5. – С. 883 – 938.
2. *Делоне Н.Б.* Алгебраические интегралы движения твердого тела около неподвижной точки. – СПб., 1892. – 78 с.
3. *Zotев D.B.* Fomenko-Zieschang invariant in the Bogoyavlenskiyi integrable case // Regular & chaotic dynamics. – 2000. – 5, N 4. – P. 437 – 458.
4. *Харламов М.П.* Один класс решений с двумя инвариантными соотношениями задачи о движении волчка Ковалевской в двойном постоянном поле // Механика твердого тела. – 2002. – Вып. 32. – С. 32 – 38.
5. *Харламов М.П.* Критическое множество и бифуркационная диаграмма задачи о движении волчка Ковалевской в двойном поле – См. наст. сб. – С. - .
6. *Яхья Х.М.* Новые интегрируемые случаи задачи о движении гиростата // Вестник МГУ. Сер. мат. мех. – 1987. – Вып. 4. – С. 88 – 90.